

С.Н. Бузыкканов

ЗАДАЧА РЕДУКЦИИ К ИДЕАЛЬНОМУ ПРИБОРУ В МОДИФИЦИРОВАННОМ ПРОСТРАНСТВЕ СОБОЛЕВА

Рассмотрена задача редукции к идеальному прибору при обработке сигналов в модифицированном пространстве Соболева. Предложена структурная схема системы и обоснован цифровой алгоритм, позволяющий снизить влияние искажений в каналах обработки по сравнению с аналогичными системами в пространстве L_2 . Показано, что для моделируемых систем выигрыш может составлять 1.5...7 раз.

Ключевые слова: редукция к идеальному прибору, некорректные задачи, модифицированное пространство Соболева W_2^1 , цифровая обработка изображений.

Введение. Задача редукции к идеальному прибору возникает во многих технических системах. В частности, данная задача стоит в системах цифровой обработки сигналов и изображений, когда отсутствует возможность использования идеального прибора, не вносящего искажений в ходе наблюдений, измерений, обработки и т. д. [1...3]. Для решения данной задачи применяются различные алгоритмы обработки: на основе спектральных преобразований [1...3], на основе различных методов решения некорректно поставленных задач [4], методами оптической обработки [5] и т. д.

Редукцией к идеальному прибору называют математический аппарат, позволяющий учесть несовершенство измерительной аппаратуры и получить полное представление о сигнале, действующем на входе по регистрируемому отклику.

Рассмотрим решение задачи редукции к идеальному прибору в пространстве L_2 на основе спектральных преобразований. Основой данного метода является математический аппарат, связывающий сигнал на входе $f_{\text{вх}}(t)$ и на выходе $f_{\text{вых}}(t)$ линейной системы в спектральной и временной области:

$$f_{\text{вых}}(t) = \int_{-\infty}^{\infty} f_{\text{вх}}(x)h(t-x)dx \Leftrightarrow \Leftrightarrow F_{\text{вых}}(\omega) = F_{\text{вх}}(\omega)H(\omega), \quad (1)$$

где $h(t)$ – импульсная характеристика прибора, $F_{\text{вых}}(\omega)$ – комплексный спектр сигнала на выходе, $F_{\text{вх}}(\omega)$ – комплексный спектр сигнала на входе, $H(\omega)$ – передаточная функция прибора. С учетом (1) решением задачи является следующее выражение:

$$F_{\text{вых}}(\omega) = F_{\text{вх}}(\omega) / H(\omega). \quad (2)$$

В идеале (2) дает нам точное решение. Однако ситуация меняется при наличии в канале обработки сигналов собственных шумов и искажений. В этом случае при применении выражения (2) получаем следующий результат:

$$F_{\text{вх}}(\omega) = (F_{\text{вых}}(\omega) + N(\omega)) / H(\omega) = F_{\text{вых}}(\omega) / H(\omega) + N(\omega) / H(\omega), \quad (3)$$

где $N(\omega)$ – спектр аддитивной помехи $n(t)$. Ошибка решения (3) является случайной из-за случайного характера помехи $n(t)$. Дисперсия решения равна:

$$\sigma^2 = \frac{1}{2\pi} \int_{-\infty}^{\infty} \frac{P_n(\omega)}{|H(\omega)|^2} d\omega, \quad (4)$$

где $P_n(\omega)$ – спектральная плотность шума $P_n(\omega) = |N(\omega)|^2$.

Так как передаточная функция системы $H(\omega)$ стремится к нулю при $\omega \rightarrow \infty$, а реальная помеха обычно содержит компоненту белого шума ($P_n(\omega)$ стремится к конечному пределу при $\omega \rightarrow \infty$), дисперсия решения оказывается бесконечной.

Из-за наличия в подынтегральном выражении (4) при $\omega \rightarrow \infty$ малых значений $H(\omega)$ возникают высокочастотные составляющие, которых не должно быть в сигнале $F_{\text{вых}}(\omega)$, дающие в решении бесконечно большие осцилляции. Данное решение задачи является неустойчивым, а сама задача – некорректно поставленной [4].

Одним из широко применяемых методов решения некорректно поставленных задач в пространстве L_2 является метод регуляризации Тихонова [4]. Основой метода является ограничение множества решений данной задачи про-

странством Соболева. Как показано в [4], такое ограничение приводит к переходу задачи в ряд корректных и позволяет определить ее решение, называемое регуляризованным.

Цель работы: разработка и анализ алгоритма редукции к идеальному прибору в модифицированном пространстве Соболева.

Теоретические основы. Для решения некорректной задачи предлагается проводить обработку сигналов в модифицированном пространстве Соболева [6, 7]. Модифицированное пространство Соболева определяется скалярным произведением функций вида:

$$(f(x), g(x))_W = (1 - \alpha) \int_{-\infty}^{\infty} f(x)g(x)dx + \alpha \int_{-\infty}^{\infty} \frac{df(x)}{dx} \frac{dg(x)}{dx} dx, \quad (5)$$

где $0 \leq \alpha < 1$ – коэффициент модифицированного пространства Соболева [6].

Ранее был предложен ряд алгоритмов [1, 8], использующих информацию о производной сигнала, однако во всех случаях обработка велась в пространстве L_2 . В модифицированном пространстве Соболева W_2^1 система обработки сигналов имеет вид (рисунок 1).

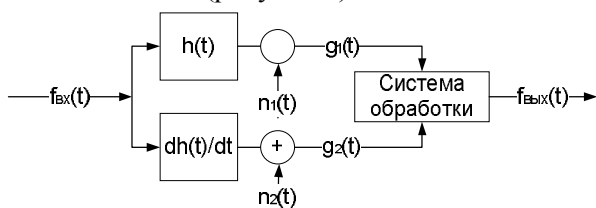


Рисунок 1 – Структурная схема системы обработки в модифицированном пространстве Соболева

Здесь $h(t)$ – импульсная характеристика линейной системы, $dh(t)/dt$ – производная импульсной характеристики линейной системы, $n_1(t)$, $n_2(t)$ – собственные аддитивные искажения в прямом канале и канале производной соответственно. При рассмотрении системы следует учесть аспекты практической реализации данных фильтров, а именно нормировку реальной производной импульсной характеристики фильтра $\hat{h}'(t) = Mh'(t)$, где M – нормирующий множитель, определяемый из условий физической реализуемости (например, из условия равенства энергий в каналах). С учетом теории, представленной в [6], сигнал в спектральной области на выходе системы обработки описывается выражением:

$$F_{\text{вых}}(\omega) = \frac{\int_{-\infty}^{\infty} [(1 - \alpha)g_1(t) - j\alpha\omega g_2(t)] \exp(-j\omega t) dt}{2\pi(1 - \alpha + \alpha\omega^2)}, \quad (6)$$

где

$$g_1(t) = \int_{-\infty}^{\infty} f_{\text{вх}}(x)h(t-x)dx + n_1(t),$$

$$g_2(t) = \int_{-\infty}^{\infty} f_{\text{вх}}(t-x) \frac{dh(x)}{dx} dx + n_2(t).$$

При учете собственных шумов в каждом канале обработки, раскрыв скобки и проведя преобразование Фурье, получим итоговое выражение для восстановления исходного сигнала в спектральной области:

$$F_{\text{вх}}(\omega) = \frac{F_{\text{вх}}(\omega)}{H(\omega)} - \frac{1 - \alpha}{1 - \alpha + \alpha\omega^2} \frac{N_1(\omega)}{H(\omega)} + \frac{j\alpha\omega M}{1 - \alpha + \alpha\omega^2} \frac{N_2(\omega)}{H(\omega)}, \quad (7)$$

где $N_1(\omega)$, $N_2(\omega)$ – спектры искажений в прямом канале и канале производной соответственно. Ошибка вычисления спектра сигнала равна:

$$\Delta^2(\omega) = \left[\frac{(1 - \alpha)N_1(\omega) - j\alpha\omega M N_2(\omega)}{(1 - \alpha + \alpha\omega^2)H(\omega)} \right]^2. \quad (8)$$

Для определения оптимального значения α_{opt} возьмем производную выражения (8) по α и приравняем ее к нулю. В результате получим выражение:

$$\alpha_{\text{opt}} = \frac{P_{n1}(\omega)}{P_{n1}(\omega) + M P_{n2}(\omega)}, \quad (9)$$

при котором значение ошибки вычисления принимает вид:

$$\Delta_{\alpha_{\text{opt}}}^2(\omega) = \frac{M^2 P_{n1}(\omega) P_{n2}(\omega)}{[M^2 P_{n2}(\omega) + \omega^2 P_{n1}(\omega)] H^2(\omega)}. \quad (10)$$

Для случая $P_{n1}(\omega) = P_{n2}(\omega) = P_n(\omega)$ (например, при идентичности применяемых схемных решений или при использовании одной матрицы регистрации в видеосистемах) выражение (10) принимает более простой вид

$$\Delta_{\alpha_{\text{opt}}}^2(\omega) = \frac{M^2 P_n(\omega)}{[M^2 + \omega^2] H^2(\omega)}. \quad (11)$$

В данном случае устойчивость решения определяется скоростью стремления к нулю передаточной функции системы $H(\omega)$. Если при $\omega \rightarrow \infty$ в пределах полосы обработки $\omega^2 H(\omega)$ не стремится к нулю, то решение является устойчивым.

Результаты численного моделирования. Пусть каналы системы обработки в модифицированном пространстве Соболева W_2^1 идентичны. Для первого эксперимента в качестве импульсной характеристики прибора используем выражение

$$h(t) = \sin(\gamma t)/t,$$

где значение $\gamma = 6.3$ является характеристикой оптической системы. Данная характеристика соответствует диафрагме в виде узкой щели при когерентном освещении [1]. Передаточная функция прибора описывается выражением:

$$H(\omega) = \begin{cases} 0.5 & \text{при } |\omega| \leq \gamma, \\ 0 & \text{при } |\omega| > \gamma. \end{cases}$$

Для данного случая получим:

$$M = 3.6, \\ \alpha_{opt} = 0.216.$$

На рисунке 2 приведены зависимости $\Delta_{\alpha_{opt}}^2(\omega)$ для пространств L_2 и W_2^1 .

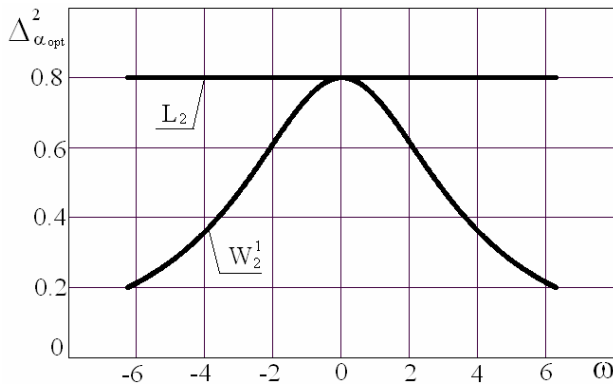


Рисунок 2 – зависимости $\Delta_{\alpha_{opt}}^2(\omega)$ для пространств L_2 и W_2^1

Из анализа рисунка 2 следует, что в этом случае интегральная ошибка $\int \Delta_L^2(\omega) d\omega / \int \Delta_w^2(\omega) d\omega$ в модифицированном пространстве Соболева в 1.6 раза меньше, чем в пространстве L_2 .

Для второго эксперимента в качестве импульсной характеристики прибора используем выражение

$$h(t) = (\sin(\gamma t)/t)^2.$$

Данная характеристика соответствует диафрагме в виде узкой щели при некогерентном освещении [1]. Соответствующая передаточная функция имеет вид:

$$H(\omega) = \begin{cases} \frac{\gamma}{2} \left(1 + \frac{\omega}{2\gamma}\right) & \text{при } -2\gamma \leq \omega \leq 0, \\ \frac{\gamma}{2} \left(1 - \frac{\omega}{2\gamma}\right) & \text{при } 0 < \omega \leq 2\gamma. \end{cases}$$

Исходя из выражения для импульсной характеристики получим:

$$M = 4, \\ \alpha_{opt} = 0.2.$$

На рисунке 3 приведены зависимости $\Delta_{\alpha_{opt}}^2(\omega)$ для пространств L_2 и W_2^1 для данной импульсной характеристики.

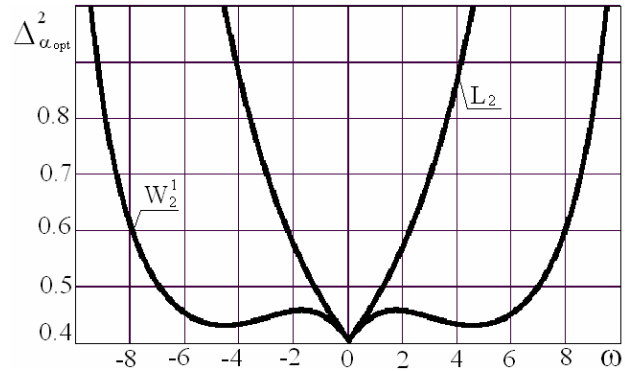


Рисунок 3 – зависимости $\Delta_{\alpha_{opt}}^2(\omega)$ для пространств L_2 и W_2^1

Таким образом, при некогерентном освещении диафрагмы в виде узкой щели интегральная ошибка в модифицированном пространстве Соболева в 7 раза меньше, чем в пространстве L_2 .

Вывод. Построение системы обработки сигналов на основе алгоритмов в модифицированном пространстве Соболева W_2^1 позволяет существенно снизить влияние собственных шумов системы на результаты обработки, а также получить устойчивое решение задачи редукции к идеальному прибору. За счет обработки в модифицированном пространстве Соболева W_2^1 для промоделированных систем снижение ошибки, вызванной собственными искажениями системы регистрации, составило 1.5...7 раз.

Библиографический список

1. Хургин Я.И., Яковлев В.П. Фinitные функции в физике и технике. – М. Наука, 1971. – 408 с.
2. Василенко Г.И. Теория восстановления сигналов. – М.: Советское радио, 1979. – 272 с.
3. Василенко Г.И., Тараторин А.М. Восстановление изображений. – М.: Радио и связь, 1986. – 303 с.
4. Тихонов А.Н., Арсенин В.Я. Методы решения некорректных задач. – М: Наука, 1979. – 285 с.
5. Vander Lugt A. Operational notation for the analysis and synthesis of optical data-processing systems. – Proc. IEEE, 1966, v. 54, № 8.
6. Кириллов С.Н., Бузыкканов С.Н. Алгоритм дискретного спектрального анализа сигналов в модифицированном пространстве Соболева // Автoметрия. 2003. № 1. С. 88–94.
7. Кириллов С.Н., Бузыкканов С.Н. Алгоритм восстановления аналогового сигнала в модифицированном пространстве Соболева // Автoметрия. 2005. № 2. С. 75–80.
8. Fienup J.R. Phase retrieval algorithms: a comparison. – Applied Optics, 1982, vol. 21, no. 15, pp. 2758–2769.